

Starkniederschlagshöhen und -spenden gemäß KOSTRA-DWD-2010R

Auswertungszeitraum von 1951 - 2010, Januar - Dezember

Rasterfeld: 12060

Zeile: 12

Spalte: 60

Seite: 1/2

| Dauerstufe D | Wiederkehrzeit T | | | | | | | | | | | | | | | | | | |
|--------------|------------------|------|------------|------|------------|------|------------|------|------------|------|------------|------|------------|------|------------|------|------------|-------|------------|
| | 1 a | | 2 a | | 3 a | | 5 a | | 10 a | | 20 a | | 30 a | | 50 a | | 100 a | | |
| min | Std | mm | l / (s ha) | mm | l / (s ha) | mm | l / (s ha) | mm | l / (s ha) | mm | l / (s ha) | mm | l / (s ha) | mm | l / (s ha) | mm | l / (s ha) | mm | l / (s ha) |
| 5 | | 4,3 | 143,3 | 5,5 | 183,3 | 6,3 | 210,0 | 7,2 | 240,0 | 8,5 | 283,3 | 9,8 | 326,7 | 10,5 | 350,0 | 11,5 | 383,3 | 12,7 | 423,3 |
| 10 | | 6,8 | 113,3 | 8,7 | 145,0 | 9,7 | 161,7 | 11,1 | 185,0 | 12,9 | 215,0 | 14,7 | 245,0 | 15,8 | 263,3 | 17,2 | 286,7 | 19,0 | 316,7 |
| 15 | | 8,5 | 94,4 | 10,8 | 120,0 | 12,1 | 134,4 | 13,8 | 153,3 | 16,0 | 177,8 | 18,3 | 203,3 | 19,7 | 218,9 | 21,3 | 236,7 | 23,6 | 262,2 |
| 20 | | 9,7 | 80,8 | 12,3 | 102,5 | 13,9 | 115,8 | 15,8 | 131,7 | 18,5 | 154,2 | 21,1 | 175,8 | 22,7 | 189,2 | 24,6 | 205,0 | 27,3 | 227,5 |
| 30 | | 11,3 | 62,8 | 14,6 | 81,1 | 16,5 | 91,7 | 18,9 | 105,0 | 22,2 | 123,3 | 25,5 | 141,7 | 27,4 | 152,2 | 29,8 | 165,6 | 33,1 | 183,9 |
| 45 | | 12,7 | 47,0 | 16,7 | 61,9 | 19,1 | 70,7 | 22,1 | 81,9 | 26,2 | 97,0 | 30,2 | 111,9 | 32,6 | 120,7 | 35,6 | 131,9 | 39,6 | 146,7 |
| 60 | | 13,5 | 37,5 | 18,2 | 50,6 | 21,0 | 58,3 | 24,5 | 68,1 | 29,2 | 81,1 | 33,9 | 94,2 | 36,7 | 101,9 | 40,2 | 111,7 | 44,9 | 124,7 |
| 90 | | 14,9 | 27,6 | 19,9 | 36,9 | 22,9 | 42,4 | 26,6 | 49,3 | 31,6 | 58,5 | 36,7 | 68,0 | 39,6 | 73,3 | 43,3 | 80,2 | 48,4 | 89,6 |
| 120 | 2 | 16,0 | 22,2 | 21,3 | 29,6 | 24,3 | 33,8 | 28,2 | 39,2 | 33,5 | 46,5 | 38,8 | 53,9 | 41,8 | 58,1 | 45,7 | 63,5 | 51,0 | 70,8 |
| 180 | 3 | 17,6 | 16,3 | 23,3 | 21,6 | 26,5 | 24,5 | 30,7 | 28,4 | 36,3 | 33,6 | 41,9 | 38,8 | 45,2 | 41,9 | 49,3 | 45,6 | 55,0 | 50,9 |
| 240 | 4 | 18,9 | 13,1 | 24,8 | 17,2 | 28,2 | 19,6 | 32,6 | 22,6 | 38,4 | 26,7 | 44,3 | 30,8 | 47,8 | 33,2 | 52,1 | 36,2 | 58,0 | 40,3 |
| 360 | 6 | 20,9 | 9,7 | 27,2 | 12,6 | 30,8 | 14,3 | 35,4 | 16,4 | 41,7 | 19,3 | 48,0 | 22,2 | 51,6 | 23,9 | 56,2 | 26,0 | 62,5 | 28,9 |
| 540 | 9 | 23,1 | 7,1 | 29,7 | 9,2 | 33,6 | 10,4 | 38,6 | 11,9 | 45,2 | 14,0 | 51,9 | 16,0 | 55,8 | 17,2 | 60,7 | 18,7 | 67,4 | 20,8 |
| 720 | 12 | 24,7 | 5,7 | 31,7 | 7,3 | 35,8 | 8,3 | 41,0 | 9,5 | 47,9 | 11,1 | 54,9 | 12,7 | 59,0 | 13,7 | 64,1 | 14,8 | 71,1 | 16,5 |
| 1080 | 18 | 27,3 | 4,2 | 34,8 | 5,4 | 39,1 | 6,0 | 44,6 | 6,9 | 52,0 | 8,0 | 59,5 | 9,2 | 63,8 | 9,8 | 69,3 | 10,7 | 76,7 | 11,8 |
| 1440 | 24 | 29,3 | 3,4 | 37,1 | 4,3 | 41,6 | 4,8 | 47,4 | 5,5 | 55,2 | 6,4 | 62,9 | 7,3 | 67,5 | 7,8 | 73,2 | 8,5 | 81,0 | 9,4 |
| 2880 | 48 | 35,3 | 2,0 | 44,1 | 2,6 | 49,3 | 2,9 | 55,8 | 3,2 | 64,6 | 3,7 | 73,5 | 4,3 | 78,7 | 4,6 | 85,2 | 4,9 | 94,0 | 5,4 |
| 4320 | 72 | 39,3 | 1,5 | 48,8 | 1,9 | 54,3 | 2,1 | 61,3 | 2,4 | 70,8 | 2,7 | 80,2 | 3,1 | 85,8 | 3,3 | 92,7 | 3,6 | 102,2 | 3,9 |

Angaben in mm: Bemessungsniederschlagswerte h(n)

Angaben in l / (s ha): Regenspende R(n) mit $R(n) = h(n) \times 1,666667 / D[\text{min}]$

Toleranzbereiche:

+/- 10 % für $1 a \leq T \leq 5 a$

+/- 15 % für $5 a < T \leq 50 a$

+/- 20 % für $50 a < T \leq 100 a$

Datenbasis: KOSTRA-DWD-2010R des Deutschen Wetterdienstes. Die Regenspende wurde auf Basis des Bemessungsniederschlags zur jeweiligen Andauer berechnet.

Für die Richtigkeit und Aktualität der Angaben wird keine Gewähr übernommen. Erstellt 07/2022.

Starkniederschlagshöhen und -spenden gemäß KOSTRA-DWD-2010R

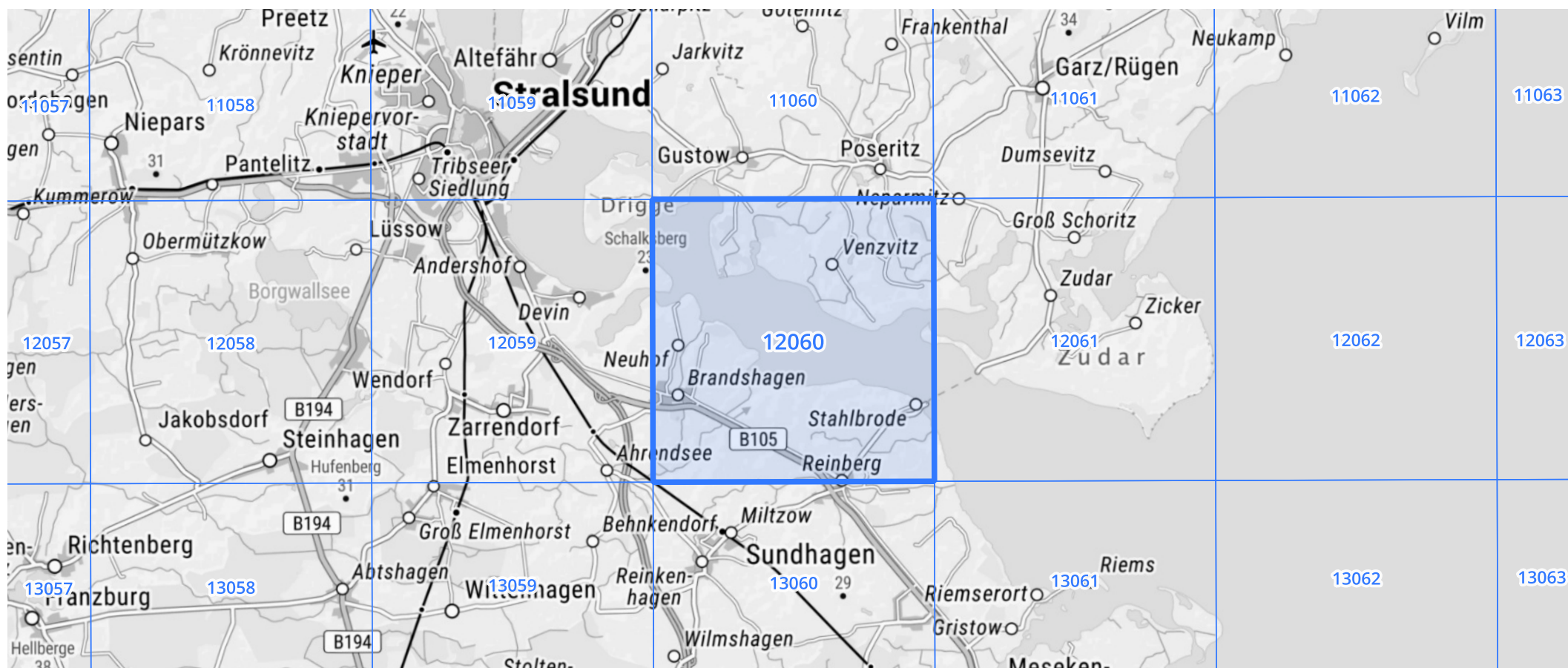
Auswertungszeitraum von 1951 - 2010, Januar - Dezember

Rasterfeld: 12060

Zeile: 12

Spalte: 60

Seite: 2/2



Quelle Rasterdaten: KOSTRA-DWD-2010R des Deutschen Wetterdienstes.

Kartendarstellung: © Bundesamt für Kartographie und Geodäsie (2022), Datenquellen: https://sgx.geodatenzentrum.de/web_public/gdz/datenquellen/Datenquellen_TopPlusOpen.html

Für die Richtigkeit und Aktualität der Angaben wird keine Gewähr übernommen. Erstellt 07/2022.